

## مدل‌سازی زیتوده جنگل‌های شاخه‌زاد بلوط غرب با استفاده از متريک‌های استخراج شده از داده‌های لايدار هواي

فرزاد ياورى<sup>۱</sup>

\*هرمز سهرابي<sup>۲</sup>

[hsohrabi@modares.ac.ir](mailto:hsohrabi@modares.ac.ir)

تاریخ پذیرش: ۹۷/۶/۱۴

تاریخ دریافت: ۹۷/۲/۳

چكیده

زمينه و هدف: يكى از مهمترین داده‌های فعال سنجش از دوری برای استفاده در کمی کردن ويزگی‌های مختلف توده‌ها جنگلی داده‌های لايدار است. از جمله حوزه‌های فعال تحقیقاتی سنجش از دور، امکان سنجی برآورده زیتوده درختان با استفاده از متريک‌های مختلف داده‌های لايدار هواي است.

روش بررسی: زیتوده درختان در ۱۲۷ قطعه نمونه مربعی به روش منظم تصادفی در دو منطقه کمتراسکم و پرتراسکم به ابعاد ۹۰۰ متر مربع برای اندازه‌گيری موجود در قطعات نمونه برداشت شد. داده‌های لايدار برای يافتن وحذف هر گونه خطأ بررسی، DSM<sup>۳</sup>، DTM<sup>۴</sup> و CHM<sup>۵</sup> از اين داده‌ها استخراج و شاخص‌های آماری مختلف از ارتفاعی داده‌های لايدار برای هر قطعه نمونه استخراج شد. به منظور برآورده زیتوده رگرسیون گام به گام استفاده شد.

يافته‌ها: نتایج دقت متوسط برای برآورده زیتوده توسط داده‌های لايدار نشان داد به شکلی که مقدار ضریب تعیین و جذر میانگین مربعات خطأ (بر حسب تن در هکتار) در برآورده زیتوده با داده‌های لايدار برای برگ، سرشاخه، شاخه، تنه و کل درخت در کل منطقه به ترتیب (۰/۵۸ و ۰/۵۴)، (۰/۵۳ و ۰/۲۳)، (۰/۶۸ و ۰/۳۵)، (۰/۶۸ و ۰/۴۰)، (۰/۶۹ و ۰/۴۵) بود.

بحث و نتيجه گيري: به دليل خطا بالا در مشخص کردن نوك تاج درختان در توده‌های پهن برگ و مخصوصاً توده‌های شاخه‌زاد به دليل ارتفاع کم و شكل غيرهندسي تر، برآورده ارتفاع و ساير مشخصه‌ها در اين توده‌ها با خطا زيدی همراه است. رسيدن به دقت‌های بالا مستلزم تحقيقات بيشتر است.

واژه‌های کليدي: زیتوده روی زمين، معادلات رگرسیونی، لايدار، تاج پوشش، جنگل شاخه‌زاد.

۱- دانش آموخته کارشناس ارشد، دانشکده منابع طبیعی و علوم دریایی، دانشگاه تربیت مدرس، تهران، ايران.

۲- دانشيار، دانشکده منابع طبیعی و علوم دریایی، دانشگاه تربیت مدرس، تهران، ايران.<sup>\*</sup> (مسؤل مکاتبات)

3- Digital Terrain Model

4- Digital Surface Model

5- Canopy Height Model

## **Modeling biomass of coppice Persian oak forests using metrics extracted from aerial laser scanner (LiDAR) data**

**Farzad Yavari<sup>1</sup>**

**Hormoz Sohrabi<sup>2 \*</sup>**

[hsohrabi@modares.ac.ir](mailto:hsohrabi@modares.ac.ir)

Admission Date: September 5, 2018

Date Received: April 23, 2018

### **Abstract**

**Background and Objective:** One of the most important active remotely sensed data for quantification of different attributes of forest stands is LiDAR data. A research hotspot in this subject is to estimate forest biomass using different LiDAR derived metrics.

**Material and Methodology:** Forest biomass was measured in 127 systematically designed 900-meter square rectangular plots in two different sites (dense and sparse sites). LiDAR data was inspected for any possible error. DTM, DSM, and CHM were extracted from LiDAR data and different metrics at plot level were calculated. For modeling, stepwise regression was applied.

**Findings:** Result showed a moderate precision for biomass estimation using LiDAR data in a way that the coefficient of determination and root mean square error (Ton/ha) for biomass estimation of leaves, twigs, branches, bole, and whole tree were 0.58-28, 0.54-23, 0.68-1.35, 0.68-1.53, .65-3.69, respectively.

**Discussion and Conclusion:** Due to high error of determination of tree tips in broadleaves forests especially in coppice stands which have low tree height with irregular shapes; the error of the estimation of tree height using LiDar data is high. Better results demand further researches.

**Key words:** Aboveground biomass, Regression equations, LiDAR, Crown Canopy, Coppice Forests.

---

1- MSc Graduated, Faculty of Natural Resources and Marine Sciences, Tarbiat Modares University, Tehran, Iran.

2- Associate Professor, Faculty of Natural Resources and Marine Sciences, Tarbiat Modares University, Tehran, Iran. \*(Corresponding author)

## مقدمه

Takagi و Godwin و همکاران در سال ۲۰۱۵ (۱۴)، ضریب تعیین برآوردهای لایدار در جنگل های سوزنی برگ و پهن برگ (عمدتاً سوزنی برگ) انجام دادند که در برآوردهای زیتووده را به ترتیب  $0.84$ ،  $0.88$  و  $0.83$  گزارش دادند، در بررسی قابلیت داده های لایدار در برآوردهای حجم توodeh Naesset در سال ۲۰۰۲، در بررسی اندازه گیری پارامترهای جنگل را نظیر متوسط ارتفاع درختان، ارتفاع غالب، قطر متوسط، تعداد، سطح مقطع و حجم چوب را با ضریب تعیین  $0.60$  تا  $0.97$  برآورد کرد (۷)، همچنین Latifi و همکاران در سال ۲۰۱۰ در یک جنگل آمیخته به بررسی قابلیت چند روش سنجش از دوری نظیر جنگل تصادفی و نزدیکترین همسایه و الگوریتم GA پرداختند، نتایج پژوهش نشان داد که الگوریتم GA و نزدیکترین همسایه دقیق مشابه را در برآوردهای جم دارند و روش جنگل تصادفی از دو روش قبلی برآوردهای دقیق تری را انجام می دهد (۱۶) و در بررسی سطح برگ Lefsky و همکاران در سال ۲۰۰۵ (۱۷)، نشان دادند با داده های لایدار می توان میزان شاخص سطح برگ موجود در جنگل را به ترتیب با ضریب تعیین  $0.92$  و  $0.70$  اندازه گرفت (۱۸). تحقیقات بسیار زیادی در سرتاسر دنیا برای ارزیابی کاربردهای مختلف داده های لایدار در برآوردهای متغیرهای مختلف درختان سرپا در سطح تک درخت و توده صورت گرفته است. نتایج حاصل از تمامی مطالعاتی که در این تحقیق به آنها اشاره شده است، بیان کننده بهبود دقت و کاهش مقدار جذر میانگین مربعات خطای هنگام استفاده از داده های لایدار در مقایسه با داده های ماهواره ای است. با این وجود سعی بر آن است که با استفاده از روش های مناسب مانند استفاده همزمان از اطلاعات ارتفاعی داده های لایدار با استفاده از مدل های رگرسیونی، روابط متغیرهای موجودی جنگل و داده های لایدار را به دست آورد (۱۹). تحقیق حاضر نیز به منظور بررسی توانایی داده های لایدار در برآوردهای زیتووده درخت و اجزاء آن در منطقه جنگلی روستای بیشه واقع در شهرستان دورود استان لرستان انجام گرفته است.

تهیه اطلاعات مرتبط با درختان از طریق عملیات میدانی مستلزم صرف زمان و هزینه های زیادی است و گستردگی عمومی سطح جنگل ها، کوهستانی بودن عرصه ها و همچنین تغییرات شدید با فواصل زمانی کوتاه به کارگیری روش ها سنتی را با مشکلات اجرایی رو به رو ساخته است (۱). بنابراین همواره سعی می شود تا با استفاده از دستاوردهای حاصل شده در زمینه های مختلف علمی از روش های جایگزین با هزینه کمتر و با سطح دقت قابل قبول استفاده شود (۱). زیتووده یکی از مهم ترین مزایای درختان در اکوسیستم های جنگلی محسوب می شود که در اندازه های مختلف درختان انجام می شود، افزایش ذخیره انرژی معادل افزایش زیتووده گیاهی، افزایش تولید، بهبود و حاصلخیزی خاک و افزایش ظرفیت نگهداری آب در خاک است (۲). یکی از متدائل ترین روش ها در برآوردهای زیتووده درختان جنگلی، استفاده از معادلات آلومتریک است (۳). امروزه استفاده از سنجش از دور با کمک داده های محدود زمینی، تحولی شگرف در تدوین و بهره برداری از اطلاعات مربوط به زیتووده و اندوخته کردن جنگل ایجاد کرده است (۴). لایدار یکی از فنون سنجش از دور است که برای برآوردهای پارامترهای مختلف درختان سرپا و توده ها به ویژه زیتووده روی زمین مورد استفاده قرار می گیرد (۵). انعطاف پذیری هوا ای لایدار همراه با سطح بالای دقت و صحت موضعی و تراکم نقطه ای آن سبب شده است که لایدار ابزاری مهم برای اندازه گیری طیف گستره ای از پارامترهای درخت و جنگل باشد (۶). از جمله این اندازه گیری ها می توان به اندازه گیری ارتفاع Anderson و همکاران در سال ۲۰۰۶ (۷)، و Morsdorf Lefsky و همکاران در سال ۲۰۰۵ (۱۷)، همکاران در سال ۲۰۰۲ (۸)، و Sexton و همکاران در سال ۲۰۰۹ (۹) با داده های لایدار اشاره کرد که در جنگل های سوزنی برگ انجام گرفته و ضریب تعیین برآوردهای ارتفاع را به ترتیب  $0.80$ ،  $0.87$  و  $0.90$  برآورد کردند، همچنین در بررسی برآوردهای Zhiyu و همکاران در سال ۲۰۰۲ (۱۰)، Li و Hekmati در سال ۲۰۰۸ (۱۱)، VanAardat و همکاران در سال ۲۰۰۶ (۱۲)، Qi Chen و همکاران در سال ۲۰۱۲ (۱۳)؛

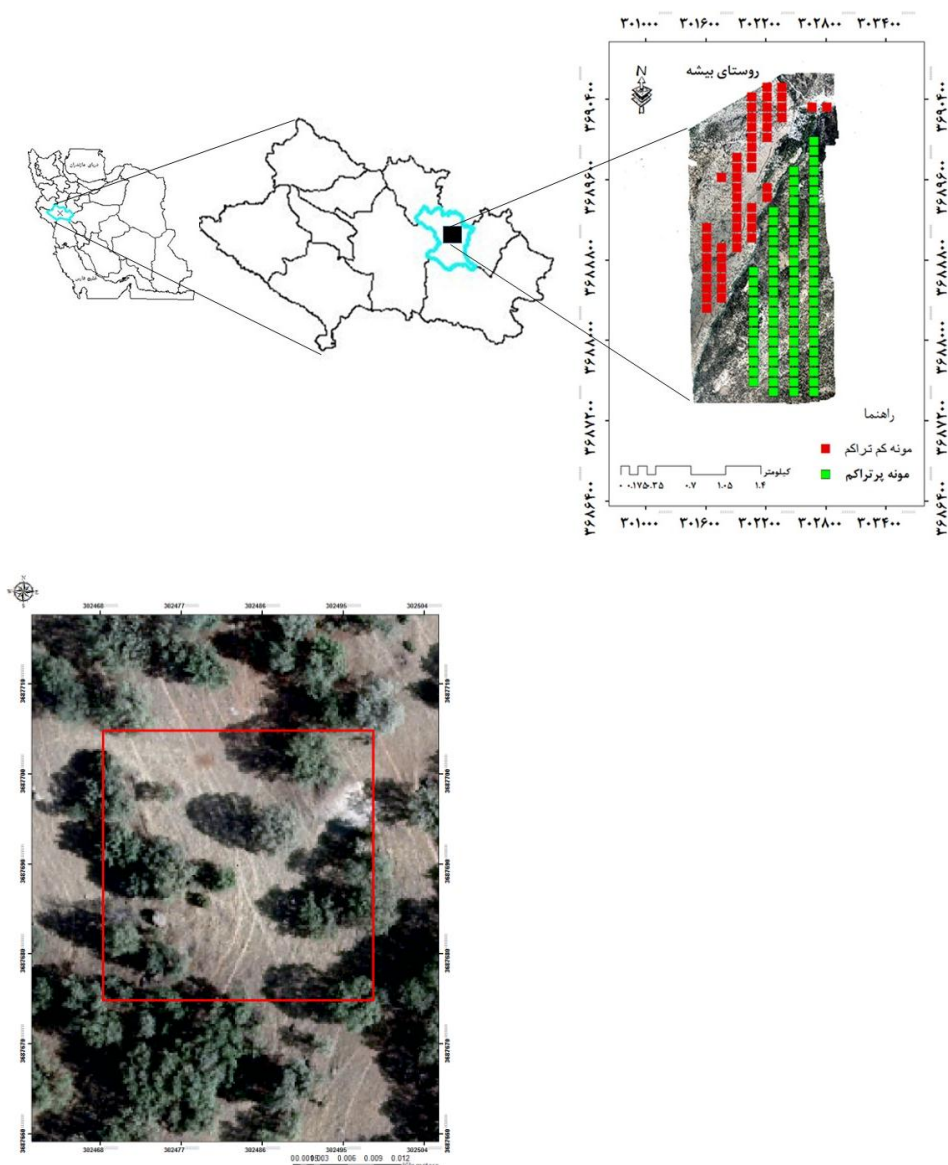
## روش بررسی

داده‌های لایدار مربوط به این تحقیق با تراکم پالس ۱/۶ در مترمربع توسط شرکت رایان نقشه با میانگین ارتفاع پرواز ۱۰۰۰ متر از سطح زمین در تاریخ ۲۰/۱۱/۰۸ برداشت گردید. مدل رقومی ارتفاعی زمین نقش مهمی در مدلسازی مشخصه‌های کمی ساختار جنگل دارد. امروزه تکنیک‌های مختلفی مانند نقشه‌برداری زمینی، فتوگرامتری، رادار و لایدار برای استخراج مدل رقومی ارتفاعی زمین وجود دارند. با توسعه چشمگیر فناوری لایدار در دهه گذشته توانایی این فناوری در تهیه مدل رقومی زمین در مقیاس بزرگ افزایش پیدا کرد (۲۱) و که با استفاده از الگوریتم (۲۲) و با استفاده از نرم افزار Bare Earth FUSION پس از حذف خطای مربوط Surface به گردید و با استفاده از لایه سطح زمین بدون پوشش DTM (مدل رقومی سطح زمین) با اندازه پیکسل یک متر (۲۱) تهیه شد.

برای جدا کردن پالس‌های پالس‌های بازگشته از سطح فوقانی تاج پوشش از پالس‌های زیر تاج پوشش و زمین و بدست آوردن ارتفاع تاج، به کارگیری یک حد آستانه ارتفاعی، لازم و ضروری است (۲۳) که این حد آستانه با توجه به شرایط پوشش درختی منطقه (۲۴) ۰/۵ متر در نظر گرفته شد. با کسر DSM از DTM به دست آمد. یک نمونه CHM (مدل رقومی ارتفاع تاج) برای یکی از قطعات نمونه در شکل ۳ نمایش داده شده است.

تحقیق حاضر در شهرستان درود در استان لرستان با طول جغرافیایی ۳۳ درجه و ۱۹ دقیقه و ۵۳ ثانیه و عرض جغرافیایی ۴۸ درجه و ۵۲ دقیقه و ۲۶ ثانیه با ارتفاع متوسط ۱۶۰۰ متر از سطح دریا در دو رویشگاه جنگلی پرترکم (قطعه نمونه) و کمترکم (۵۱ قطعه نمونه) انجام شد (شکل ۱). قطعه جنگلی پرترکم واقع در قسمت جنوب غربی روستای بیشه و دارای درختانی بلند و پایه‌های مرغوب بود و قطعه کم-ترکم در قسمت شمال غربی روستای بیشه واقع شده بود. در مجموع، دو رویشگاه جنگلی مورد نظر ۱۲۰ هکتار مساحت داشت و رویشگاه‌های انتخاب شده مجموعه‌ای از پایه‌های دانه‌زاد و شاخه‌زاد را در بر می‌گرفت.

نمونه بداری زمینه با برداشت قطعات نمونه صورت گرفت و تعداد ۱۲۷ قطعه نمونه مربعی به مساحت ۹۰۰ مترمربع به روش منظم تصادفی در قالب شبکه آماربرداری منظم تصادفی به ابعاد ۲۰۰×۱۰۰ متر، در دو رویشگاه پرترکم و کم تراکم مطابق شکل ۱ طراحی و برداشت شد. برای اندازه‌گیری قطر تاج از دستگاه متر لیزری و متر نواری و برای اندازه گیری ارتفاع درختان از دستگاه ورتکس لیزری (Vertex Laser) استفاده شد. پس از آماربرداری منطقه و استخراج داده‌های هر درخت و همچنین با توجه به وضعیت زاداوری درختان اندازه-گیری شده با استفاده از معادلات آلمتریک (۲۰) در سطح معنی داری ۰/۰۰۱ (جدول ۱) زیستوده اجزای مختلف درخت در سه سطح درخت و قطعه نمونه و منطقه (هکتار) برای درختان دانه‌زاد و شاخه‌زاد به صورت جداگانه محاسبه شد.



شکل ۱- منطقه مورد مطالعه، چیدمان نمونه ها و یک قطعه نمونه برداشت شده در عرصه

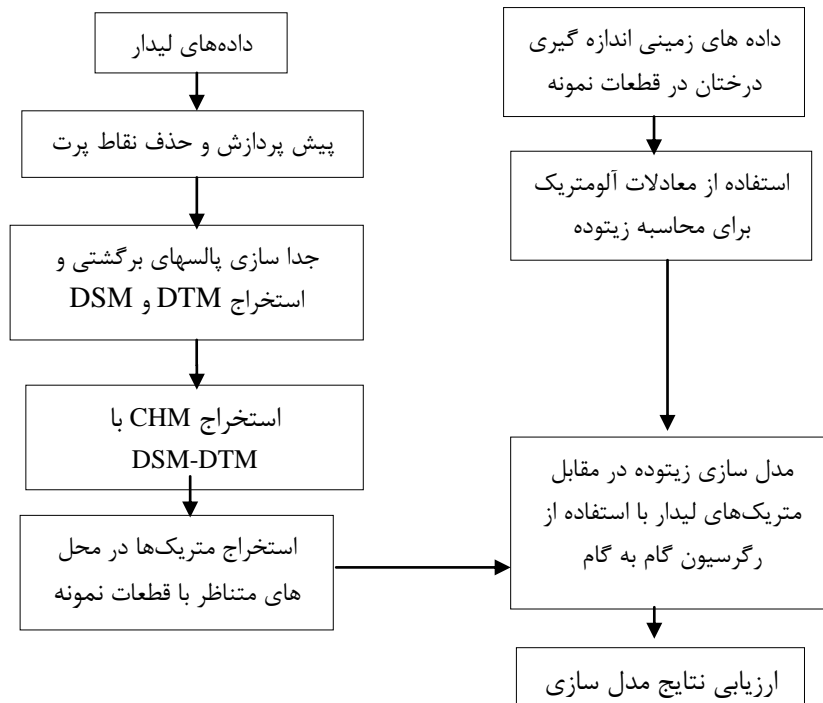
Figure 1. The location of study area, sample plots, and an established plot

جدول ۱- مدل های آلومتریک مورد استفاده برآورده زیستوده روی زمینی بلوط ایرانی (ایرانمنش و همکاران، ۱۳۹۲)

Table 1. Allometric equations for the estimation of aboveground biomass of Persian oak tress (Iranmanesh et al., 2013)

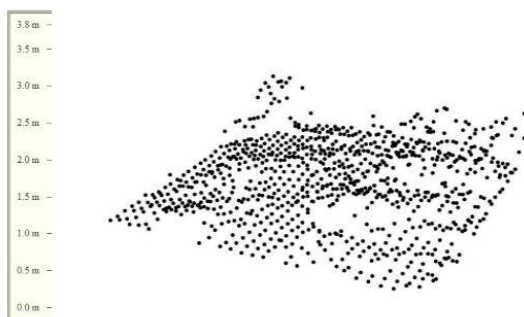
فرم استاندارد		جست گروه		اجزاء درخت
معادله	$R^2(\text{adj})$	معادله	$R^2(\text{adj})$	
$Y = 0.060 \times X^{2/178}$	0.53	$Y = 0.536 \times X^{1/688}$	0.81	برگ
$Y = 0.090 \times X^{2/0.54}$	0.59	$Y = 0.694 \times X^{1/397}$	0.70	سرشاخه
$Y = 0.001 \times X^{4/890}$	0.86	$Y = 0.246 \times X^{2/514}$	0.75	شاخه فرعی

$Y = 0.002 \times X^4/680$	۰/۸۲	$Y = 0.108 \times X^3/281$	۰/۸۱	شاخه اصلی
$Y = 0.024 \times X^3/478$	۰/۸۸	$Y = 0.314 \times X^2/916$	۰/۹۰	تنه
$Y = 0.0004 \times X^4/603$	۰/۸۹	$Y = 0.108 \times X^2/574$	۰/۸۳	کنده
$Y = 0.032 \times X^3/924$	۰/۸۹	$Y = 0.868 \times X^2/487$	۰/۹۱	کل
شرح عالیم: $Y$ زیتووده اندام درخت به کیلوگرم، $X$ ارتفاع کل درخت و $R^{(adj)}$ ضریب تعیین تطبیق یافته است. (Adjusted coefficient of determination)				



شکل ۲- فلوچارت مراحل مختلف اجرای تحقیق

Figure 2. Flowchart of different stages of current research



شکل ۳- نمایش ابر نقطه‌ای مدل رقومی تاج در یکی از قطعات نمونه

Figure 3. An illustration of point cloud of canopy height model in one the sample plots

نتایج حاصل از تجزیه و تحلیل‌های آماری، ۳۰ درصد از داده‌ها در ۵ طبقه به صورت تصادفی انتخاب و عنوان مجموعه داده‌های ارزیابی از کلیه تجزیه و تحلیل‌ها کنار گذاشته شد. با در اختیار داشتن مقادیر تخمینی،  $\hat{y}_i$  و مقدار واقعی زیتووده  $y_i$  با استفاده از معیارهای آماری مذکور میانگین مربعات خطأ و اریبی به صورت مطلق و نسبی اعتبار مدل‌های آماری مورد ارزیابی قرار گرفت (رابطه‌های ۱ و ۲ و ۳ و ۴).

$$RMSE = \sqrt{\frac{\sum_{i=1}^n (\hat{y}_i - y_i)^2}{n}} \quad (1)$$

$$RMSE_r = \frac{RMSE}{\bar{y}_i} \quad (2)$$

$$Bias = \frac{\sum_{i=1}^n \hat{y}_i - \bar{y}_i}{n} \quad (3)$$

$$Bias_r = \frac{Bias}{\bar{y}_i} \times 100 \quad (4)$$

همچنین برای شناسایی اعداد پرت از رسم باقیماندها در برابر مقادیر مشاهده شده  $(\hat{y}_i)$  استفاده شد.

با توجه به مدل رقومی تاج (ارتفاع تاج) بدست آمده، مشخصه‌های آماری ارتفاعی داده‌های لایدار، برای دو مجموعه داده CHM پالس اول و پالس آخر، بطور جداگانه، با استفاده از TOLWID شده مطابق با سطح قطعه نمونه تهیه شد. این مشخصه‌ها شامل:

الف) چندک‌های ارتفاعی: برای محاسبه این چندک‌ها، همه مقادیر ارتفاعی نقاط درون قطعات نمونه طبقه مرتب شد و مشخصه‌ها بر اساس موقعیت نقاط در هر طبقه (۱۰، ۵، ۱، ..., ۰، ۵، ۵۵، ۵۰، ۵۵) محاسبه گردید (جدول ۲).

ب) تمامی آماره‌های توصیفی ارتفاعی نقاط داده‌های لایدار در قطعه نمونه، شامل میانگین، بیشینه، حداقل، ضریب تغییرات، انحراف از معیار، مد، مدیان، چولگی و کشیدگی و غیره محاسبه شد.

اعتبار سنجی مدل‌ها به شیوه‌های مختلفی انجام می‌گیرد. در این تحقیق به منظور ارزیابی برازش مدل‌های رگرسیونی و

## جدول ۲- مشخصه‌های آماری ارتفاعی استخراج شده از داده‌های لایدار

Table 2. Statistical indices derived from LiDAR data

توضیحات	مشخصه آماری	توضیحات	مشخصه آماری	توضیحات	مشخصه آماری
انحراف معیار ارتفاع	Hsd	میانگین ارتفاع	Hmean	صدک‌های ارتفاع	hp5, ..., hp90
چولگی ارتفاع	Hskewnes	میانه ارتفاع نقاط	Hmed	بیشترین مقدار ارتفاع	Hmax
کشیدگی ارتفاع	Hkurtosis	دامنه تغییرات ارتفاع	Hrange	کمترین مقدار ارتفاع	Hmin

یافته‌ها

میانگین قطر تاج و ارتفاع درختان در سطح قطعه نمونه و در سطح توده (هکتار)، (جدول ۳) محاسبه شد.

بر اساس آماربرداری انجام شده از درختان بلوط ایرانی در ۱۲۷ قطعه نمونه مورد بررسی، ویژگی‌های توصیفی درختان تک پایه و شاخه‌زad مشخص شد. در نهایت ویژگی‌های توصیفی نظری

### جدول ۳- اطلاعات توصیفی داده‌های زمینی درختان و توده‌های مورد بررسی

Table 3. Descriptive information for trees and stands in the study area

ویژگی‌های توده‌ها			ویژگی‌های درختان			تعداد نمونه	منطقه
زیتووده در هکتار (تن در هکتار)	تراکم پایه‌ها (تعداد در هکتار)	درصد تاج پوشش	زی توده (کیلوگرم)	ارتفاع	قطر تاج		
۱۲/۲۷ (۰/۸۴)	۱۲۹/۴۴ (۷/۰۶)	۱۳/۱۶ (۰/۷۳)	۹۴/۷۷ (۲/۴۳)	۴/۶۱ (۰/۰۵)	۳/۲۸ (۰/۰۵)	۷۶	پرتراکم
۶/۹۰ (۰/۶۲)	۱۳۸/۲۵ (۸/۹۷)	۷/۰۱ (۰/۵۳)	۵۴/۶۸ (۲/۹۰)	۳/۴۵ (۰/۰۶)	۲/۳۸ (۰/۰۴)	۵۱	کم تراکم
۱۰/۰۸ (۰/۶۰)	۱۳۲/۹۱۲ (۵/۵۴)	۱۰/۲۶ (۰/۵۵)	۷۸/۳۴۴ (۱/۹۲)	۴/۱۳ (۰/۰۴)	۲/۹۲ (۰/۰۳)	۱۲۷	کل
اعدا داخل پرانتز مقدار اشتباہ معیار است							

### جدول ۴- نتایج مدل سازی زیتووده قسمت‌های درختان به تفکیک رویشگاه و کل منطقه

Table 4. Results of biomass modelling of different tree components in different sites

منطقه	اجزاء درخت	ضرایب مدل	R <sup>2</sup>	RMSE <sub>r</sub>	RMSE
پرتراکم	برگ	(۱۰)	۰/۵۷	۳۸/۴۹	۰/۳۰
	کم تراکم	(۳۰)	۰/۶۲	۳۵/۴۳	۰/۲۰
	کل	(۲۰)	۰/۵۸	۴۱/۱۱	۰/۲۸
سرشاخه	پرتراکم	(۱۰)	۰/۵۴	۳۷/۱۶	۰/۲۵
	کم تراکم	(۳۰)	۰/۸۵	۳۷/۶۰	۰/۱۸
	کل	(۲۰)	۰/۵۴	۴۰/۹۴	۰/۲۳
شاخه	پرتراکم	(۲۵، ضریب تغییرات)	۰/۶۵	۴۴/۶۵	۱/۵۲
	کم تراکم	(۵۰)	۰/۵۹	۴۰/۴۶	۱/۰۷
	کل	(۵۰، ۹۰، ۲۵)	۰/۶۸	۴۵/۹۷	۱/۳۵
تنه	پرتراکم	(۲۵، ضریب تغییرات)	۰/۶۴	۴۲	۱/۷۲
	کم تراکم	(۵۰)	۰/۶۰	۳۷/۶۴	۱/۲۰
	کل	(۵۰، ۹۰، ۲۵)	۰/۶۸	۴۳/۱۰	۱/۵۳
کل	پرتراکم	(۲۵)	۰/۶۲	۳۲/۵۷	۴/۱۰
	کم تراکم	(۳۰)	۰/۶۴	۳۵/۴۹	۲/۶۵
	کل	(۲۵)	۰/۶۵	۴۴/۴۷	۳/۶۹

با معادلات آلمتریک برآورده زیتووده به عنوان متغیر وابسته

(جدول ۲)، مقادیر ضریب تعیین برآورده زیتووده و جذر میانگین

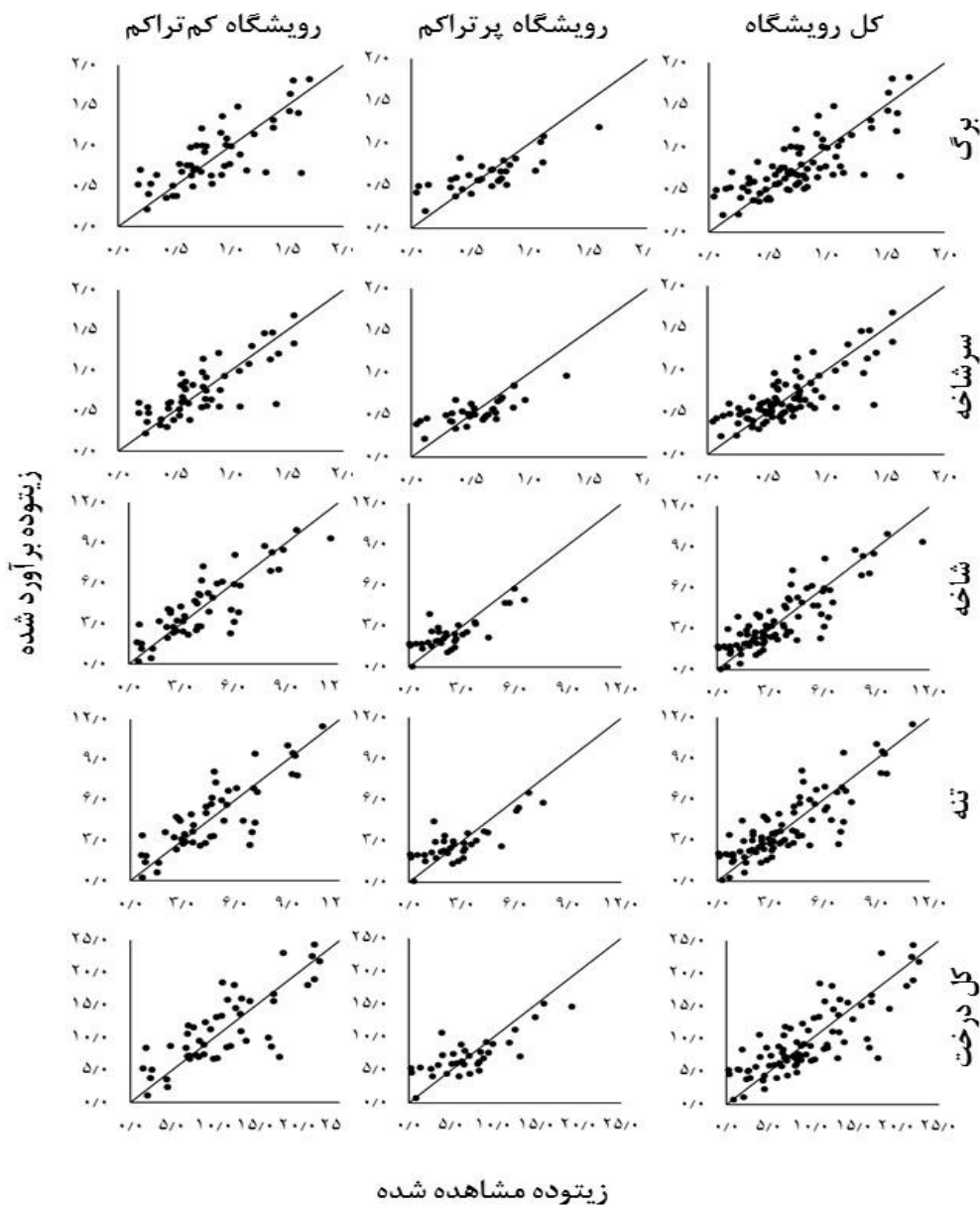
بر اساس نتایج تحلیل رگرسیون بین آماره‌های استخراج شده از

داده‌های لایدار به عنوان متغیر مستقل و زیتووده محاسبه شده

بدست آمد و در نهایت در بررسی مقدار پیش‌بینی شده مقادیر زیتووده در هکتار در مقابل مقادیر مشاهده شده (داده‌های آموزش) به تفکیک اجزا درخت و در رویشگاه‌های پرتراکم، کم‌تراکم و کل منطقه (شکل ۴) نشان داد که پراکنش نقاط حول خط صفر به درستی و با دقیق بالایی انجام گرفته است. نتایج احراز اعتبار مدل بدست آمده، حکایت از توانایی مناسب مدل برای برآورده زیتووده نمونه‌های جدید داشت. به طوری که درصد جذر میانگین مربعات خطای نسبی (شکل ۵) نشان می‌دهد که در رویشگاه‌های کم‌تراکم و پرتراکم در بررسی زیتووده تنها کمترین مقادیر درصد مجذور میانگین مربعات خطای مشاهده شد، همچنین در بررسی درصد اربی (شکل ۶) برآورد زیتووده به تفکیک اجزاء و رویشگاه‌ها نشان داد که همانند پژوهش‌های Lim و همکاران در سال ۲۰۰۴ (۲۵)، Ya و همکاران در سال ۲۰۰۴ (Coops ۲۶) و همکاران در سال ۲۰۰۴ (۲۷) مقدار ارتفاع ارندازه‌گیری زمینی در مقایسه با مقادیر اندازه‌گیری با لایدار (بجز در سه حالت رویشگاه کم‌تراکم و پرتراکم در بررسی زیتووده شاخه و رویشگاه پرتراکم بررسی زیتووده کل) دارای مقادیر اربی و اربی نسبی منفی است.

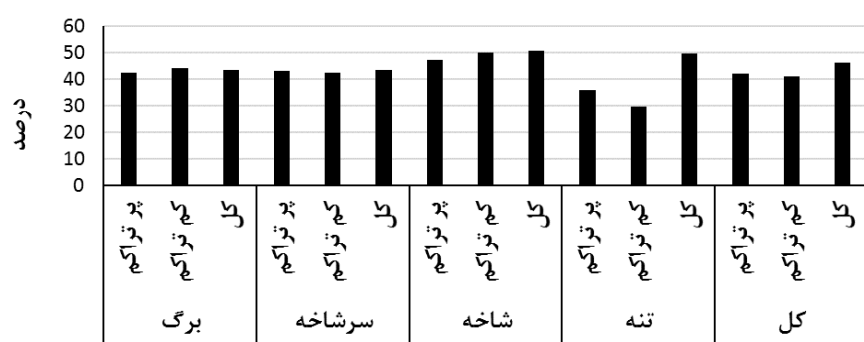
مربعات خطای به تفکیک اجزاء درخت زیتووده برگ، سرشاخه، شاخه، تنه و کل در هر رویشگاه و کل منطقه بررسی شد (جدول ۴). نتایج بررسی زیتووده پس از بررسی نرمالیته و همگنی واریانس با استفاده از متغیرهای اندازه‌گیری شده از درخت و متريک‌های استخراج شده از داده‌های لایدار برآش داده شد. در اين تحقیق از رگرسیون گام به گام با معادله  $Y = aX_1 + \dots + a_n X_n + b$  که در آن  $Y$  و  $X$  به ترتیب متغیرهای وابسته و مستقل هستند و  $a$  و  $b$  ضرایب رگرسیون (به ترتیب شبیه و عرض از مبدأ) هستند.

نتایج حاصل از مدل‌سازی زیتووده به تفکیک اجزاء درخت و رویشگاه نشان داد که از بین متغیرهای مستقل (متريک‌های ارتفاعی استخراج شده از داده‌های لایدار) بهترین متغیرهای برآورد کننده زیتووده برگ و سرشاخه و زیتووده کل صدک‌های ارتفاعی ۱۰، ۲۵، ۳۰ و متغیرهای برآورد کننده زیتووده شاخه و تنه صدک‌های ۲۵، ۵۰، ۹۰ و ضریب تغییرات ارتفاع مدل رقومی تاج بودند. همچنین نتایج نشان داد که بیشترین ضریب تعیین برآورد زیتووده مربوط به زیتووده سرشاخه در رویشگاه کم‌تراکم و کمترین مقادیر خطای نسبی برآورد زیتووده مربوط به برآورد زیتووده کل در رویشگاه پرتراکم با مقدار ۳۲/۵۷ درصد



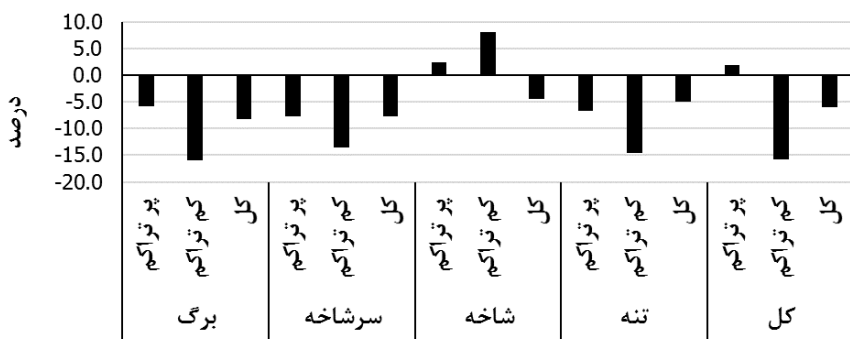
شکل ۴- مقادیر مشاهده شده در مقابل مقادیر برآورده شده برای داده های آموزش

Figure 4. Estimated versus predicted values for the training data



شکل ۵- درصد مجدور میانگین مربعات خطأ برای برآورده زیتوود بر حسب اجزاء درخت در رویشگاه های مختلف و کل

Figure 5. Relative RMSE (%) for different components in different sites and the total



شکل ۶- درصد اربی براورد زیتووده بر حسب اجزاء درخت در رویشگاه‌های مختلف و کل

Figure 5. Relative bias (%) for different components in different sites and the total

براورد زیتووده اجزا مختلف درختان جنگلی مورد ارزیابی قرار گرفت.

بر اساس نتایج تجزیه و تحلیل داده‌ها، ضریب تعیین مدل‌های رگرسیونی براورد زیتووده با استفاده از داده‌ای لایدار در رویشگاه‌های پرتراکم و کمترراکم و کل منطقه به ترتیب برای برگ، سرشاخه، شاخه، تنہ و زیتووده کل درخت به ترتیب (۵۷٪، ۵۸٪ و ۶۲٪)، (۵۴٪ و ۶۵٪)، (۵۴٪ و ۶۸٪)، (۵۹٪ و ۶۸٪)، (۶۰٪ و ۶۴٪)، (۶۲٪ و ۶۵٪) مشاهده شد که کمترین ضریب تبیین براورد مربوط به سرشاخه در رویشگاه پرتراکم و کل منطقه و بیشترین مقدار مربوط به تنہ و زیتووده کل در کل منطقه بود. همچنین بیشترین مقدار میانگین خطای نسبی مربوط به زیتووده شاخه و در کل منطقه و کمترین مقدار درصد خطای نسبی مربوط به زیتووده کل در منطقه کمترراکم و پرتراکم می‌باشد، همچنین میزان درصد محدود مربعات خطأ در دو منطقه کم تراکم و پرتراکم از کل مناطق کمتر بوده است.

مقادیر منفی اربی و اربی نسبی مشاهده شده را می‌توان ناشی از درون‌یابی داده‌های لایدار و اندازه سلول مدنظر برای DTM و درون‌یابی بیان کرد که به افزایش ارتفاع نقاط در DSM و کاهش ارتفاع در CHM تولید شده دانست.

این نتایج نشان داد که با استفاده از داده‌های لایدار، براورد درصد تاج پوشش و زیتووده با صحت قبلی امکان‌پذیر است. مقایسه نتایج تحقیق حاضر با یافته‌های پژوهش‌های مشابه در جهان تا حدودی دشوار به نظر می‌رسد، زیرا شرایط و

نتایج بررسی مقدار زیتووده پیش‌بینی شده در هکتار و رسم آنها در مقابل مقادیر مشاهده شده داده‌های آزمون (شکل ۴) و قرار گرفتن نقاط در نزدیکی خط نیمساز نشان می‌دهد که مقادیر براورد شده و مشاهده شده نزدیک به هم بوده و اختلاف زیادی ندارند و همچنین بیان می‌کند که ارزیابی مدل با صحت قابل قبولی انجام گرفته است و این مقادیر به شکل مناسبی در اطراف خط نیمساز توزیع شده‌اند.

### بحث و نتیجه گیری

هدف اصلی آماربرداری جنگل، آماده کردن اطلاعات دقیق و به روز برای مدیریت منابع طبیعی خصوصاً منابع جنگلی و هماهنگ‌سازی سیاست‌ها و برنامه‌ها نظیر برنامه‌های حفاظتی و پایش منابع جنگلی است. مقدار زی تووده در اکوسیستم‌های جنگلی علاوه براینکه بیانگر توان تولید در واحد سطح یا زمان (مقدار ذخایر کربن موجود در جنگل) است، بر چرخه‌های بیوژئوشیمیایی جنگل نیز تأثیر می‌گذارد (۲۸). اندازه‌گیری و براورد زی تووده درختان، یکی از نیازهای اساسی در برنامه ریزی‌های مدیریتی جنگل و بررسی‌های جریان انرژی در بوم‌سازگان به حساب می‌آید و طی سالیان اخیر این موضوع مورد توجه بسیاری از محققان قرار گرفته است (۲۹).

استفاده از داده‌های لایدار به دلایل برخورداری مزایایی چون توانایی ثبت بعد سوم (ارتفاع پدیده‌ها) و دقت بالا در تلفیق با تصاویر رقومی هوایی به دلیل ثبت بازتاب سطح پدیده‌ها از گزینه‌های مهم و کاربردی در دستیابی به اطلاعات دقیق مورد نظر می‌باشند (۳۰)، در این تحقیق قابلیت داده‌های لایدار در

لایدار برای اجرای این تحقیق صمیمانه قدردانی می‌گردد. همچنین زحمات آقای مهندس دریابی در عملیات آماربرداری زمینی و همکاری‌های ارزنده سرکار خانم مهندس عظیمه سعیدی در پردازش و تحلیل داده‌های لایدار در خور ارج و قدردانی است.

## References

- Mohammadi, J. and Shataee, Sh. (2009), "Sensitivity Evaluation of Spectral Vegetation Indices Using Sensitivity Functions for Stand Volume Estimation." *J. of Wood & Forest Science and Technology*, Vol. 16, No. 2, PP. 101-120. (In Persian)
- ABDI, N., MADAH, A. H., & ZAHEDI, A. G. (2008), "Estimation of carbon sequestration in Astragalus rangelands of Markazi province (Case study: Malmir rangeland in Shazand region)" *Iranian Journal of Range and Desert Research*, Vol.15, No. 2, PP. 269-282.
- Bakhtiarvand Bakhtiari, S. and Sohrabi, H. (2012), "Allometric equations for estimating above and below-ground carbon storage of four broadleaved and coniferous trees." *Iranian Journal of Forest and Poplar Research*, Vol. 20, No. 3, PP. 481-492, (In Persian)
- Aghayani-pour, K. and Hakemifar, J. (2008), "Theoretical and Experimental Study of the Strength of Piezoelectric Structures Under Pressure Forces," Proc. of the 1stConference on Dynamics of Advanced Structures, Mechanics Research Center, Isfahan, pp. 23-25, (In Persian)
- Reutebuch, S. E., McGaughey, R. J., Andersen, H. E., & Carson, W. W. (2003), "Accuracy of a high-resolution lidar terrain model under a conifer forest canopy." *Canadian journal of*

ساختار جنگل، نوع توده جنگلی مورد مطالعه، تراکم پالس‌های لیزر، زاویه اسکن و واگرایی پرتو لیزر و همچنین روش‌ها و الگوریتم‌های برآوردهای داده‌های لیزر تا حدودی نتایج تحقیقی را تحت تاثیر قرار می‌دهد. گرچه ممکن است برآوردهای زیست‌دانی در تراز تک درخت یا استفاده از داده‌های لایدار با تراکم زیاد و یا استفاده از روش‌های مدل سازی ناپارامتریک بتواند دقت نتایج حاصل از این تحقیق را بهبود دهد.

مقایسه نتایج حاصل از این تحقیق با سایر مطالعات انجام شده نشان می‌دهد که درصد مجذور میانگین مربعات خطأ و انحراف معیار تفاوت‌های بدست آمده در این تحقیق برای مشخصه زیست‌دانی در هکتار بالاتر از تحقیقات صورت گرفته در دیگر نقاط جهان با داده‌های لایدار است. تحقیقات Lefsky و همکاران در سال ۲۰۰۲ (۹)، Li و همکاران در سال ۲۰۰۸ (۱۰)، Godwin و Qichen و همکاران در سال ۲۰۱۲ (۱۲) و همکاران Takagi Kentaro و همکاران در سال ۲۰۱۵ (۱۴) همگی دقت‌های بیشتری برای برآورد زیست‌دانی در مقایسه با تحقیق حاضر، گزارش نمودند. با توجه به اینکه پژوهش‌های ذکر شده با داده‌های لایدار با تراکم زیاد (بیش از ۴ پالس در متر مربع) در جنگلهای استاندارد (جنگل-های دانه‌زاد سوزنی برگ) صورت گرفته است، دستیابی به دقت‌های بالاتر خارج از انتظار نیست.

از طرف دیگر، در توده‌های پهنه‌برگ شاخه‌زاد نسبت به توده‌های دانه‌زاد، متوسط ارتفاع تاج پوشش به مراتب کمتر است و درختان نیز شکل تاج غیرهندسی‌تری دارند، بنابراین بالاتر بودن خطای برآوردهای زیست‌دانی پهنه‌برگ جنگل-های خزری با استفاده از داده‌های لایدار متصور است. در تحقیقات صورت گرفته در مناطق با پوشش جنگلی مشابه تحقیق حاضر مانند پژوهش‌های Glenn و همکاران در سال ۲۰۱۱ (۳۱) و Estornell و همکاران در سال ۲۰۱۲ (۳۲) دقت‌های گزارش شده با تحقیق پیش رو همسان است.

## تشکر و قدردانی

از مدیریت محترم و کارشناسان ارجمند شرکت رایان نقشه بابت همکاری‌های ارزنده و نیز در اختیار قرار دادن داده‌های

- from light detection and ranging data. Western Journal of Applied Forestry.” Western Journal of Applied Forestry, Vol. 23, No. 4, PP. 223-231.
12. Van Aardt, J. A., Wynne, R. H., & Oderwald, R. G. (2006), “Forest volume and biomass estimation using small-footprint lidar-distributional parameters on a per-segment basis.” Forest Science, Vol. 52, No. 6, PP. 636-649.
  13. Chen, Q., Laurin, G. V., Battles, J. J., Saah, D. (2012), “Integration of airborne lidar and vegetation types derived from aerial photography for mapping aboveground live biomass.” Remote Sensing of Environment, Vol. 121, PP. 108-117.
  14. Takagi, K., Yone, Y., Takahashi, H., Sakai, R., Hojyo, H., Kamiura, T..., & Yoshida, T. (2015), “Forest biomass and volume estimation using airborne LiDAR in a cool-temperate forest of northern Hokkaido, Japan.” Ecological Informatics, Vol. 26, PP. 54-60.
  15. Godwin, C., Chen, G., Singh, K. K. (2015), “The impact of urban residential development patterns on forest carbon density: An integration of LiDAR, aerial photography and field mensuration.” Landscape and Urban Planning, Vol. 136, PP. 97-109.
  16. Latifi, H., Nothdurft, A., Koch, B. (2010), “Non-parametric prediction and mapping of standing timber volume and biomass in a temperate forest: application of multiple optical LiDAR-derived predictors.” Forestry, Vol. 83, No. 4, PP. 395-407.
  17. Lefsky, M. A., Hudak, A. T., Cohen, W. B., & Acker, S. A. (2005), “Geographic variability in LiDar predictions of forest stand structure in remote sensing, Vol. 29, No. 5, PP. 527-535.
  6. Stephens, P. R., Kimberley, M. O., Beets, P. N., Paul, T. S., Searles, N., Bell, A., ... & Broadley, J. (2012), “Airborne scanning LiDAR in a double sampling forest carbon inventory”. Remote Sensing of Environment, Vol. 117, PP. 348-357.
  7. Anderson, J., Martin, M. E., Smith, M. L., Dubayah, R. O., Hofton, M. A., Hyde, P., ... & Knox, R. G. (2006), “The use of waveform lidar to measure northern temperate mixed conifer and deciduous forest structure in New Hampshire.” Remote Sensing of Environment, Vol. 105, No. 3, PP. 248-361.
  8. Næsset, E. (2002), “Predicting forest stand characteristics with airborne scanning laser using a practical two-stage procedure and field data.” Remote Sensing of Environment, Vol. 80, No. 1, PP. 88-99.
  9. Sexton, J. O., Bax, T., Siqueira, P., Swenson, J. J., Hensley, S. (2009), “A comparison of lidar, radar, and field measurements of canopy height in pine and hardwood forests of southeastern North America.” Forest Ecology and Management, Vol. 257, No. 3, PP. 1136-1147.
  10. Lefsky, M. A., Cohen, W. B., Harding, D. J., Parker, G. G., Acker, S. A., Gower, S. T. (2002), “Lidar remote sensing of above- ground biomass in three biomes. Global Ecology and Biogeography.” Global Ecology and Biogeography, Vol. 11, No. 5, PP. 393-399.
  11. Li, Y., Andersen, H. E., McGaughey, R. (2008), “A comparison of statistical methods for estimating forest biomass

- Journal of Remote Sensing, Vol. 32, PP. 473–501.
24. Næsset, E., and Bjerknes, K.O. (2001), “Estimating tree heights and number of stems in young forest stands using airborne laser scanner data”. *Remote Sensing of Environment*, Vol. 78, PP. 328–340.
25. Lim, K., Treitz, P., Wulder, M., St-Onge, B., & Flood, M. (2003), “LiDAR remote sensing of forest structure”. *Progress in physical geography*, Vol. 27, No. 1, PP. 88–106.
26. Yu, X., Hyppä, J., Kaartinen, H., & Maltamo, M. (2004), “Automatic detection of harvested trees and determination of forest growth using airborne laser scanning”. *Remote Sensing of Environment*, Vol. 90, No. 4, PP. 451–462.
27. Coops, N. C., Wulder, M. A., Culvenor, D. S., & St-Onge, B. (2004), “Comparison of forest attributes extracted from fine spatial resolution multispectral and lidar data”. *Canadian Journal of Remote Sensing*, Vol. 30, No. 6, PP. 855–866.
28. Husch, B., T.W. Beers & J.A. Kershaw, (2003), *Forest mensuration*. 4th Edition, John Wiley & Sons Inc, PP. 443.
29. Zianis, D., Muukkonen, P., Mäkipää, R., & Mencuccini, M. (2005), “Biomass and stem volume equations for tree species in Europe”, FI.
30. Mohamadi, j. (2013), “Improving in Estimation of Some Forest Structure Quantitative Characteristics by Combining the Lidar and Digital Aerial Images in Shast Kalate Hardwood Forests of Gorgane”, (Thesis).
- the Pacific Northwest.” *Remote Sensing of Environment*, Vol. 95, No. 4, PP. 532-548.
18. Morsdorf, F., Kötz, B., Meier, E., Itten, K. I., Allgöwer B., (2006), “Estimation of LAI and fractional cover from small footprint airborne laser scanning data based on gap fraction.” *Remote Sensing of Environment*, Vol. 104, No. 1, PP. 50-61.
19. Næsset, E. (2004), “Practical large-scale forest stand inventory using a small-footprint airborne scanning laser”. *Scandinavian Journal of Forest Research*, Vol. 19, No. 2, PP. 164-179.
20. Iranmanesh, Y., Jalali, S.G.A ., Sagheb-Talebi, Kh., Hosseini, S.M., Sohrabi, H. (2013), “Allometric equations of biomass and carbon stocks for *Quercus brantii* acorn and its nutrition elements in Lordegan, Chaharmahal Va Bakhtiari”. *Iranian Journal of Forest and Poplar Research*, Vol. 20 No. 4, PP. 551-564. (In Persian)
21. Hyppä, J., Hyppä, H., Leckie, D., Gougeon, F., Yu, X., Maltamo, M. (2008), “Review of methods of small footprint airborne laser scanning for extracting forest inventory data in boreal forests”. *International Journal of Remote Sensing*, Vol. 29, PP. 1339–1366.
22. Kraus, K., & Pfeifer, N. (1998), “Determination of terrain models in wooded areas with airborne laser scanner data”. *ISPRS Journal of Photogrammetry and remote Sensing*,, Vol. 53, No. 4, PP. 193–203.
23. Næsset, E. (2011), “Estimating above-ground biomass in young forests with airborne laser scanning”. *International*

crown area on sloped terrain". Journal of Arid Environments, Vol. 75, No. 4, PP. 377–382.

31. Glenn, N. F., Spaete, L. P., Sankey, T. T., Derryberry, D. R., Hardegree, S. P., & Mitchell, J. J. (2011), "Errors in LiDAR-derived shrub height and